

ЛИТЕРАТУРА

1. Балабух Л. И., Яковенко М. Г. Об учете деформационной анизотропии в задачах устойчивости изотропных упругих тел.— В кн.: Механика деформируемых тел и конструкций. М.: Машиностроение, 1975.
2. Дель Г. Д., Одинг С. С. Устойчивость двусосного пластического растяжения изотропного листа.— Изв. АН СССР. МТТ, 1976, № 3.

УДК 539.374

УПРУГОИЛАСТИЧЕСКОЕ КРУЧЕНИЕ ЭКЦЕНТРИЧЕСКИХ ТРУБ

Г. И. Быховцев, В. П. Зебриков
(Куйбышев)

Кручение идеальных упругопластических стержней рассматривалось в [1—5]. Решение упругопластических задач методом возмущений рассматривалось в работах, обсуждение которых можно найти в [6]. При решении задач для двусвязных областей методы, разработанные в [6], применимы только тогда, когда один из контуров полностью охвачен пластической зоной. Ниже предлагается модификация метода возмущений, которая позволяет рассматривать развитие пластических зон с охватом только части контура пластической зоной, при этом используется идея [7] разложения решения по параметру нагружения.

1. При кручении упругопластических труб в упругой области напряжения выражаются через функцию напряжений по формулам

$$(1.1) \quad \tau_r = (1/r)\partial u/\partial\theta, \quad \tau_\theta = -\partial u/\partial r.$$

Функция напряжений u удовлетворяет уравнению

$$(1.2) \quad \Delta u = -2G\omega,$$

где G — модуль сдвига; ω — угол закручивания. В пластической области выполняется условие текучести

$$(1.3) \quad (\partial u/\partial r)^2 + (1/r^2)(\partial u/\partial\theta)^2 = K^2.$$

На границе контуров имеем

$$(1.4) \quad du/ds = 0.$$

На упругопластической границе u и du/dn должны быть непрерывны. Для односвязной области условия (1.3), (1.4) однозначно определяют напряженное состояние по заданной закрутке. Для многосвязной области, интегрируя соотношение (1.4), получаем

$$(1.5) \quad u = c_p,$$

причем постоянная c_p на каждом контуре своя, только на одном из ее контуров ее можно положить равной нулю. Для определения значений c_p из (1.5) необходимо воспользоваться аналогом теоремы Бредта в упругопластических телах, который сформулирован в [8].

2. Рассмотрим кручение эксцентрической трубы. Контур поперечного сечения трубы (фиг. 1) зададим уравнениями

$$(2.1) \quad L_1: r = \delta \cos \theta + \sqrt{r_1^2 - \delta^2 \sin^2 \theta} \approx r_1 + \delta \cos \theta - \frac{\delta^2}{2r_1} \sin^2 \theta, \quad L_2: r = r_2.$$

Решение упругой задачи получено в [9, 10]. Функцию напряжения можно получить в упругой области, используя метод возмущений. Ограничиваясь степенями не выше δ^2 , имеем

$$(2.2) \quad u_0 = G\omega \left(\frac{r_2^2 - r^2}{2} + \delta K_1 \left(\frac{r_2^2}{r} - r \right) \cos \theta + \delta^2 K_2 \left(\frac{r_2^4}{r^2} - r^2 \right) \cos 2\theta \right),$$

$$\text{где} \quad K_1 = \frac{r_1^2}{r_2^2 - r_1^2}; \quad K_2 = \frac{-\frac{1}{2}r_2^2}{(r_2^2 - r_1^2)(r_2^4 - r_1^4)}.$$

Максимальное напряжение имеет место в точке A , из (2.2) получаем

$$(2.3) \quad \tau_{\max} = G\omega(r_2 + 2\delta K_1 + 4\delta^2 K_2 r_2).$$

В точке A напряжения достигают предела текучести при

$$(2.4) \quad \omega = \omega_0 = KG^{-1}(r_2 + 2\delta K_1 + 4\delta^2 K_2 r_2)^{-1}.$$

При $\omega > \omega_0$ около точки A образуется пластическая область, в которой совместно с (1.3) выполняется

$$(2.5) \quad \tau_r = 0, \tau_\theta = K, u = K(r_2 - r).$$

Решение (2.5) будет иметь место при $r_2 - \rho(\theta, \omega) \leq r \leq r_2$, где $\rho(\theta, \omega)$ — толщина пластической зоны по нормали к контуру L_2 . Введем малый параметр

$$(2.6) \quad \varepsilon^2 = (\omega - \omega_0) \omega_0^{-1}$$

и решение в упругой области будем искать в виде разложения по ε :

$$(2.7) \quad u = \sum_{n=0}^{\infty} u_n \varepsilon^n.$$

На упругопластической границе

$$(2.8) \quad u(r_2 - \rho, \theta) = K\rho, \quad \partial u / \partial r = -K.$$

С учетом (2.6) уравнение (1.2) будет выполнено, если

$$(2.9) \quad \Delta u_0 = -2G\omega_0, \Delta u_1 = 0, \Delta u_2 = -2G\omega_0, \Delta u_k = 0 \quad (k = 3, 4 \dots).$$

Краевые условия (2.8), используя (2.7), можно записать в виде

$$(2.10) \quad \sum_{n=0}^{\infty} u_n(r_2 - \rho, \theta) \varepsilon^n = K\rho, \quad \sum_{n=0}^{\infty} \frac{\partial u_n(r_2 - \rho, \theta)}{\partial r} \varepsilon^n = -K.$$

Раскладывая левые части равенства (2.10) в ряд по степеням ρ , получаем

$$(2.11) \quad \sum_{n=0}^{\infty} \sum_{m=0}^{\infty} \frac{(-1)^m}{m!} \frac{\partial^m u_n(r_2, \theta)}{\partial r^m} \varepsilon^n \rho^m = K\rho,$$

$$\sum_{n=0}^{\infty} \sum_{m=0}^{\infty} \frac{(-1)^m}{m!} \frac{\partial^{m+1} u_n(r_2, \theta)}{\partial r^{m+1}} \varepsilon^n \rho^m = -K.$$

Функцию ρ будем искать в виде разложения в ряд по ε :

$$(2.12) \quad \rho = \sum_{k=1}^{\infty} \rho_k \varepsilon^k.$$

Подставляя выражение (2.12) в (2.11), получаем

$$(2.13) \quad \sum_{n=0}^{\infty} \sum_{m=0}^{\infty} \frac{(-1)^m}{m!} \frac{\partial^m u_n(r_2, \theta)}{\partial r^m} \left(\sum_{k=1}^{\infty} \rho_k \varepsilon^k \right)^m \varepsilon^n = K \sum_{k=1}^{\infty} \rho_k \varepsilon^k;$$

$$(2.14) \quad \sum_{n=0}^{\infty} \sum_{m=0}^{\infty} \frac{(-1)^m}{m!} \frac{\partial^{m+1} u_n(r_2, \theta)}{\partial r^{m+1}} \left(\sum_{k=1}^{\infty} \rho_k \varepsilon^k \right)^m \varepsilon^n = -K.$$

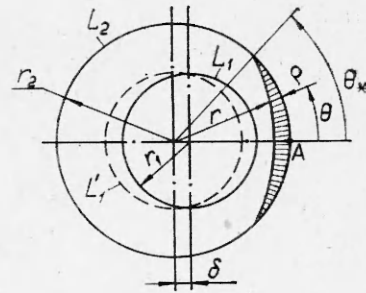
Будем принимать, что угол охвата θ_* пластической зоной внешнего контура L_2 связан с малым параметром ε соотношением

$$(2.15) \quad \theta_* \sim \varepsilon, \sin \theta_* \sim \varepsilon, \cos \theta_* \sim 1.$$

В выражениях (2.13), (2.14) входит сумма $(K + \partial u_0 / \partial r)$, которая с учетом (2.2), (2.4) и (2.15) имеет вид

$$(2.16) \quad \left(K + \frac{\partial u_0}{\partial r} \right) = G\omega_0 \left(T_1 \sin^2 \frac{\theta}{2} + T_2 \sin^2 \theta \right) =$$

$$= G\omega_0 \left(\left(\frac{1}{4} T_1 + T_2 \right) \theta^2 - \left(\frac{T_1}{48} + \frac{T_2}{3} \right) \theta^4 + \dots \right),$$



Ф и г. 1

где $T_1 = 4\delta K_1$, $T_2 = 8\delta^2 K_2 r_2$.

Приравнивая члены в (2.13), (2.14) при одинаковых степенях ε , с учетом (2.15), (2.16) получим

$$(2.17) \quad u_0 = 0, u_1 = 0, u_2 = -\frac{\partial^2 u_0}{\partial r^2} \frac{\rho_1^2}{2} + \frac{\partial u_1}{\partial r} \rho_1,$$

$$\begin{aligned} u_3 &= G\omega_0 \rho_1 \left(\frac{1}{4} T_1 + T_2 \right) \frac{\theta^2}{\varepsilon^2} - \frac{\partial^2 u_0}{\partial r^2} \rho_1 \rho_2 + \frac{\partial^3 u_0}{\partial r^3} \frac{\rho_1^3}{3!} + \frac{\partial u_1}{\partial r} \rho_2 - \frac{\partial^3 u_1}{\partial r^3} \frac{\rho_1^2}{2} + \frac{\partial u_2}{\partial r} \rho_1, u_4 = \\ &= G\omega_0 \rho_2 \left(\frac{T_1}{4} + T_2 \right) \frac{\theta^2}{\varepsilon^2} - \frac{\partial^2 u_0}{\partial r^2} \frac{(\rho_2^2 + 2\rho_1 \rho_3)}{2} + \frac{\partial^3 u_0}{\partial r^3} \frac{\rho_1^2 \rho_3}{2} - \frac{\partial^4 u_0}{\partial r^4} \frac{\rho_1^4}{4!} + \frac{\partial u_1}{\partial r} \rho_3 - \\ &\quad - \frac{\partial^2 u_1}{\partial r^2} \rho_1 \rho_2 + \frac{\partial^3 u_1}{\partial r^3} \frac{\rho_1^3}{3!} + \frac{\partial u_2}{\partial r} (\rho_1 + \rho_2) + \frac{\partial^2 u_2}{\partial r^2} \frac{\rho_1^2}{2} - \frac{\partial u_2}{\partial r} \rho_1; \end{aligned}$$

$$(2.18) \quad \rho_1 = \frac{\partial u_1}{\partial r} \left(\frac{\partial^2 u_0}{\partial r^2} \right)^{-1}, \rho_2 = \left(G\omega_0 \left(\frac{T_1}{4} + T_2 \right) \frac{\theta^2}{\varepsilon^2} + \frac{\partial^3 u_0}{\partial r^3} \frac{\rho_1^2}{2} - \frac{\partial^2 u_1}{\partial r^2} \rho_1 + \right. \\ \left. + \frac{\partial u_2}{\partial r} \right) \left(\frac{\partial^2 u_0}{\partial r^2} \right)^{-1}, \rho_3 = \left(\frac{\partial^3 u_0}{\partial r^3} \rho_1 \rho_2 - \frac{\partial^4 u_0}{\partial r^4} \frac{\rho_1^3}{3!} - \frac{\partial^2 u_1}{\partial r^2} \rho_2 + \frac{\partial^3 u_1}{\partial r^3} \frac{\rho_1^2}{2} - \frac{\partial^2 u_2}{\partial r^2} \rho_1 + \frac{\partial u_3}{\partial r} \right) \times \\ \times \left(\frac{\partial^2 u_0}{\partial r^2} \right)^{-1}, \rho_4 = \left(-G\omega_0 \left(\frac{T_1}{48} + \frac{T_2}{3} \right) \frac{\theta^4}{\varepsilon^4} + \frac{\partial^2 u_0}{\partial r^2} \frac{\rho_2^2 + 2\rho_1 \rho_3}{2} - \frac{\partial^4 u_0}{\partial r^4} \frac{\rho_1^2 \rho_3}{2} + \frac{\partial^5 u_0}{\partial r^5} \frac{\rho_1^4}{4!} - \right. \\ \left. - \frac{\partial^2 u_1}{\partial r^2} \rho_3 + \frac{\partial^3 u_1}{\partial r^3} \rho_1 \rho_2 - \frac{\partial^4 u_1}{\partial r^4} \frac{\rho_1^3}{3!} - \frac{\partial^2 u_2}{\partial r^2} (\rho_1 + \rho_2) + \frac{\partial^3 u_2}{\partial r^3} \frac{\rho_1^2}{2} - \frac{\partial^2 u_3}{\partial r^2} \rho_1 + \frac{\partial u_4}{\partial r} \right) \left(\frac{\partial^2 u_0}{\partial r^2} \right)^{-1}.$$

Из (2.17) определяются граничные условия для u_n на наружном контуре в пластической зоне, а (2.18) позволяет определить толщину пластической зоны ρ . При развитии пластической зоны на наружном контуре L_2 выражение теоремы Бретта для внутреннего контура L_1 с площадью отверстия F_1 имеет вид

$$(2.19) \quad \int_{L_1} \left(-\frac{\partial^2 u}{\partial r^2} r d\theta + \frac{1}{r} \frac{\partial u}{\partial \theta} dr \right) = 2G\omega F_1.$$

Учитывая (2.6) и приравнивая члены в (2.19) при одинаковых степенях ε , получим

$$(2.20) \quad P(u_0) = 2G\omega_0 F_1, P(u_1) = 0, P(u_2) = 2G\omega_0 F_1, P(u_n) = 0, n = 3, 4, \dots,$$

где

$$P(u_n) = \int_{L_1} \left(-\frac{\partial u_n}{\partial r} r d\theta + \frac{1}{r} \frac{\partial u_n}{\partial \theta} dr \right).$$

Решение u_n будем искать в виде ряда

$$(2.21) \quad u_n = \sum_{l=0}^{\infty} u_{nl} \delta^l, \quad n = 1, 2, \dots$$

Проведем разложение u_n около контура L_1' , концентрически расположенного относительно L_2 :

$$(2.22) \quad u_n = \sum_{l=0}^{\infty} \sum_{m=0}^{\infty} \frac{\partial^m u_{nl}}{\partial r^m} \frac{\left(\delta \cos \theta - \frac{\delta^2}{2r_1} \sin^2 \theta \right)^m}{m!} \delta^l, \quad n = 1, 2, \dots$$

Приравнивая члены в (2.20) при одинаковых степенях δ , с учетом (2.21), (2.22) получим

$$(2.23) \quad \int_0^{2\pi} \frac{\partial u_{n0}}{\partial r} r_1 d\theta = 0, \\ \int_0^{2\pi} \left(\left(\frac{\partial^2 u_{n0}}{\partial r^2} r_1 + \frac{\partial u_{n0}}{\partial r} \right) \cos \theta + \frac{\partial u_{n1}}{\partial r} r_1 + \frac{\partial u_{n0}}{\partial \theta} \frac{\sin \theta}{r_1} \right) d\theta = 0, \quad n = 1, 3, 4, \dots$$

Для u_2 используются уравнения (2.23), кроме первого, которое, согласно (2.20), будет иметь вид

$$(2.24) \quad \int_0^{2\pi} -\frac{\partial u_{20}}{\partial r} r_1 d\theta = 2G\omega_0 F_1.$$

На внутреннем контуре L_1 функция u имеет постоянное значение

$$(2.25) \quad u = c.$$

Постоянную c представим в виде

$$(2.26) \quad c = \sum_{n=0}^{\infty} c_n \varepsilon^n.$$

Приравняем в (2.25) с учетом (2.26) члены при одинаковых степенях ε и получим

$$(2.27) \quad u_n = c_n, \quad n = 0, 1, 2, \dots$$

Представим c_n в виде

$$(2.28) \quad c_n = \sum_{l=0}^{\infty} c_{nl} \delta^l.$$

Значение u_n на L_1 разложим около L_1' , концентрически расположенной относительно L_2 , и с учетом (2.22), (2.28), приравняв члены при одинаковых степенях δ , получим соотношения

$$(2.29) \quad u_{n0} = c_n, \quad u_{n1} = c_{n1} - \frac{\partial u_{n0}}{\partial r} \cos \theta, \quad n = 1, 2, \dots$$

Граничные условия для u на наружном контуре в упругой области

$$(2.30) \quad u = 0.$$

Из (2.30) определяются граничные условия для u_n

$$(2.31) \quad u_n = 0, \quad u_{nl} = 0, \quad l, n = 0, 1, 2, \dots$$

С учетом (2.21) уравнение (2.9) для u_n распадается на систему уравнений для u_{nl} :

$$(2.32) \quad \begin{aligned} \Delta u_{nl} &= 0, \quad n = 1, 3, 4, \dots, \quad l = 0, 1, 2, \dots, \\ \Delta u_{20} &= -2G\omega_0, \quad \Delta u_{2l} = 0, \quad l = 1, 2, 3, \dots \end{aligned}$$

Полученные дифференциальные уравнения и граничные условия позволяют задачу определения функции u разделить на ряд последовательных задач нахождения функций u_n, u_{nl} путем решения уравнений (2.9), (2.32) с граничными условиями для u_n (2.17), (2.31), (2.20), (2.27) и граничными условиями для u_{nl} (2.23), (2.24), (2.29).

3. Рассмотрим последовательно решение задачи по нахождению u_n, u_{nl} . Функция u_1 имеет следующую краевую задачу для определения:

$$(3.1) \quad \begin{aligned} \Delta u_1 &= 0, \quad u_1 = 0 \quad \text{на } L_2, \\ u_1 &= c_1, \quad \int_{L_1} -\frac{\partial u_1}{\partial r} r d\theta + \frac{1}{r} \frac{\partial u_1}{\partial \theta} dr = 0 \quad \text{на } L_1. \end{aligned}$$

Из (3.1) с учетом (2.18) получаем

$$(3.2) \quad u_1 = 0, \quad \rho_1 = 0.$$

Определение u_1, ρ_1 позволяет найти граничные условия для u_2 на контуре L_2 при $-\theta_* \leq \theta \leq \theta_*$. Из (2.17) следует, что $u_2 = 0$ на контуре L_2 при $-\theta_* \leq \theta \leq \theta_*$. Тогда функция u_2 имеет следующую краевую задачу для ее определения:

$$(3.3) \quad \begin{aligned} \Delta u_2 &= -2\omega_0 G, \quad u_2 = 0 \quad \text{на } L_2, \\ u_2 &= c_2, \quad \int_{L_1} -\frac{\partial u_2}{\partial r} r d\theta + \frac{1}{r} \frac{\partial u_2}{\partial \theta} dr = 2\omega_0 G F_1 \quad \text{на } L_1. \end{aligned}$$

Краевая задача (3.3) для u_2 совпадает с задачей об упругом кручении эксцентрического кольца, решением которой является (2.2). Следовательно,

$$(3.4) \quad u_2 = u_0.$$

С учетом (3.2), (3.4) ρ_2 определим из (2.18)

$$\rho_2 = \left(G\omega_0 \left(\frac{T_1}{4} + T_2 \right) \frac{\theta^2}{\varepsilon^2} + \frac{\partial u_0}{\partial r} \right) \left(\frac{\partial^2 u_0}{\partial r^2} \right)^{-1},$$

откуда после подстановки $\partial u_0 / \partial r$, $\partial^2 u_0 / \partial r^2$ с учетом (2.15) имеем

$$(3.5) \quad \rho_2 = G\omega_0 \left(\frac{T_1}{4} + T_2 \right) (\theta_*^2 - \theta^2) \varepsilon^{-2} L_2^{-1};$$

$$(3.6) \quad \theta_* = \varepsilon \sqrt{\frac{L_1}{G\omega_0 \left(\frac{T_1}{4} + T_2 \right)}},$$

где

$$L_1 = G\omega_0(r_2 + 2\delta K_1 + 4\delta^2 K_2 r_2);$$

$$L_2 = G\omega_0 \left(1 - \frac{2\delta K_1}{r_2} - 4\delta^2 K \right).$$

Угол охвата θ_* контура L_2 пластической зоной определен из условия $\rho_2 = 0$ при $\theta = \theta_*$. Согласно (3.2), краевая задача определения u_3 совпадает с условиями нахождения u_1 , откуда получаем

$$(3.7) \quad u_3 = \theta, \quad \rho_3 = \theta.$$

Перейдем к определению функции $u_4(r, \theta)$ и ρ_4 . Из (2.17) с учетом (3.2), (3.4), (3.5), (3.7) получим значение функции u_4 на контуре L_2 в пластической области:

$$u_4 = G\omega_0 \left(\frac{T_1}{4} + T_2 \right) \frac{\theta^2}{\varepsilon^2} - \frac{\partial^2 u_0}{\partial r^2} \frac{\rho_2^2}{2} + \frac{\partial u_0}{\partial r} \rho_2,$$

откуда после преобразований имеем

$$(3.8) \quad u_4 = -L_3 (\theta_*^2 - \theta^2)^2,$$

где $L_3 = \frac{\left(G\omega_0 \left(\frac{T_1}{4} + T_2 \right) \right)^2}{2\varepsilon^4 L_2}$. Функция u_4 определена на контуре L_2 в пластической области при угле охвата (3.6) и находится из решения следующей краевой задачи:

$$(3.9) \quad \Delta u_4 = 0, \quad u_4 = \begin{cases} -L_3 (\theta_*^2 - \theta^2)^2 & \text{на } L_2, \quad -\theta_* \leq \theta \leq \theta_*, \\ 0 & \text{на } L_2, \quad \theta_* < \theta < 2\pi - \theta_*, \\ c_4 & \text{на } L_1, \end{cases}$$

$$\int_{L_1} -\frac{\partial u_4}{\partial r} r d\theta + \frac{1}{r} \frac{\partial u_4}{\partial \theta} dr = 0.$$

В соответствии с (2.21) — (2.23), (2.28), (2.29), (2.31) задачу о нахождении u_4 в области, ограниченной контурами L_1 и L_2 (эксцентрическое кольцо), можно свести к последовательному решению краевых задач в области, ограниченной контурами L_1' и L_2 (концентрическое кольцо), представив

$$(3.10) \quad u_4 = u_{40} + \delta u_{41} + \dots$$

Ограничимся определением u_{40} , u_{41} . Для непрерывного задания функции на всем контуре L_2 разложим функции u_{40} , u_{41} , заданные на $-\theta_* \leq \theta \leq \theta_*$, в ряд Фурье. Краевые условия для u_{40} , u_{41} на L_2 при $-\theta_* \leq \theta \leq \theta_*$ назначаем, используя (3.8), таким образом, чтобы в результате решения краевой задачи полученные функции u_{40} , u_{41} и их производные по r и θ имели сходящиеся ряды во всей упругой области и на ее границах:

$$(3.11) \quad u_{40} = -L_3 (\theta_*^2 - \theta^2)^2, \quad u_{41} = 0.$$

Нахождение u_{40} сведем, следуя (3.9) — (3.11), к решению краевой задачи

$$(3.12) \quad \Delta u_{40} = 0, \quad u_{40} = \begin{cases} E + \sum_{k=1}^{\infty} E_k \cos k\theta & \text{на } L_2, \\ c_{40} & \text{на } L_1', \end{cases}$$

$$\int_0^{2\pi} \frac{\partial u_{40}}{\partial r} r_1 d\theta = 0,$$

где
$$E = -\frac{8}{15} \frac{\theta^5}{\pi} L_3; E_k = \frac{1}{\pi} L_3 \left(\frac{3\theta^*}{k^4} \cos k\theta_* + \left(\frac{\theta^*}{k^2} - \frac{3}{k^2} \right) \sin k\theta_* \right).$$

Решение (3.12) будем искать в виде

$$(3.13) \quad u_{40} = R + R_0 \ln r + \sum_{k=1}^{\infty} (R_k r^k + R'_k r^{-k}) \cos k\theta.$$

Из (3.12), (3.13) получаем значение функции u_{40}

$$(3.14) \quad u_{40} = E + \sum_{k=1}^{\infty} R_k r^k \left(1 - \left(\frac{r_1}{r} \right)^{2k} \right) \cos k\theta,$$

где
$$R_k = \frac{E_k r_2^k}{r_2^{2k} - r_1^{2k}}.$$

Для определения u_{41} необходимо решить краевую задачу

$$(3.15) \quad \Delta u_{41} = 0, \quad u_{41} = \begin{cases} 0 & \text{на } L_2, \\ r_{41} - \frac{\partial u_{40}}{\partial r} \cos \theta & \text{на } L'_1, \end{cases}$$

$$\int_0^{2\pi} \left(\left(\frac{\partial^2 u_{40}}{\partial r^2} r_1 + \frac{\partial u_{40}}{\partial r} \right) \cos \theta + \frac{\partial u_{41}}{\partial r} r_1 + \frac{\partial u_{40}}{\partial \theta} \frac{\sin \theta}{r_1} \right) d\theta = 0.$$

Решение ищем в виде (3.13). Из (3.13), (3.15) находим

$$(3.16) \quad u_{41} = \sum_{k=1}^{\infty} W_k r^k \left(1 - \left(\frac{r_2}{r} \right)^{2k} \right) \cos k\theta,$$

где
$$W_k = \frac{R_{k-1} (k-1) r_1^{2k-2} + R_{k+1} (k+1) r_1^{2k}}{r_2^{2k} - r_1^{2k}}.$$

Получив значение функции u_4 и ее производной $\partial u_4 / \partial r$ из (3.10), (3.14), (3.16), определим ρ_4 из (2.18) в виде

$$(3.17) \quad \rho_4 = \frac{1}{2} \left(-G\omega_0 \left(\frac{r_1}{48} + \frac{r_2}{3} \right) \frac{\rho_4^4}{\varepsilon^4} + \frac{\partial^3 u_0}{\partial r^2} \frac{\rho_2^2}{2} - \frac{\partial^2 u_0}{\partial r^2} \rho_2 + \frac{\partial u_4}{\partial r} \right) \left(\frac{\partial^3 u_0}{\partial r^3} \right)^{-1}.$$

Согласно (2.12), используя (3.5), (3.17), получим толщину пластической зоны по нормали к контуру L_2 после второго приближения $\rho = \varepsilon^2 \rho_2 + \varepsilon^4 \rho_4$ и тем самым положение упругопластической границы (см. фиг. 1). Из (2.7), (3.2), (3.4), (3.7), (3.14), (3.16) получим функцию напряжения в упругой области

$$u = (1 + \varepsilon^2) u_0 + \varepsilon^4 (u_{40} + \delta u_{41}),$$

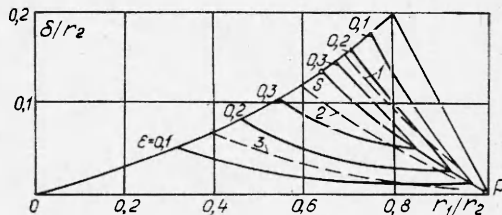
что позволит, согласно (1.1), определить напряженное состояние в упругой области.

Построенное решение удовлетворяет точным уравнениям теории идеальной пластичности в пластической области и точным уравнениям теории упругости в упругой области. Метод возмущений при ограниченном числе приближений сводится поэтому к приближенному выполнению краевых условий и условий сопряжения на упругопластической границе.

Условия на внешнем контуре L_2 выполняются точно, а на внутреннем контуре L_1 и упругопластической границе приближенно.

Поэтому о точности полученного решения можно судить по величинам относительной невязки $(\tau_\theta - K)/K$, τ_r/K на упругопластической границе, а также по величине относительной невязки краевых условий на внутреннем контуре τ_n/K , где τ_n — напряжение, нормальное к внутреннему контуру L_1 .

На фиг. 2 представлена область параметров δ/r_2 , r_1/r_2 , которые определяют геометрию поперечного сечения трубы. Для каждой точки области $(\delta/r_1,$



Фиг. 2

r_1/r_2) указаны наибольшие параметры ε , когда невязки не превышают 1%. На фиг. 2 приведена кривая PS , которая является геометрическим местом точек пересечения кривых $\varepsilon = \text{const}$. Выше PS расположены кривые $\varepsilon = \text{const}$, когда пластическое течение достигает контура L_1 . Для больших ε применяемый метод решения не может быть использован. Ниже PS расположены кривые $\varepsilon = \text{const}$, когда пластическое течение не достигает внутреннего контура L_1 .

Параметр ε вдоль PS изменяется от $\varepsilon = 0$ в точке P до $\varepsilon = 0,38$ в точке S , где ε является наибольшим для всей выделенной области. На фиг. 2 приведены штриховые кривые 1—3, вдоль которых угол охвата пластической зоной внешнего контура L_2 постоянен и составляет 15; 30; 45° соответственно.

Поступила 14 IV 1981

ЛИТЕРАТУРА

1. Соколовский В. В. Об одной задаче упругопластического кручения.— ПММ, 1942, т. 6, вып. 2—3.
2. Галин Л. А. Упругопластическое кручение призматических стержней полигонального сечения.— ПММ, 1944, т. 8, вып. 4.
3. Галин Л. А. Упругопластическое кручение призматических стержней.— ПММ, 1949, т. 13, вып. 3.
4. Mises R. Three remarks on the theory of the ideal plastic body.— In: Reissner Anniversary Volume. Ann Arbor, Michigan, 1949.
5. Hodge P. On the soap-film sandhill analogy for elastic-plastic torsion.— In: The Prager Anniversary Volume. N. Y., 1963.
6. Ивлев Д. Д., Ершов Л. В. Метод возмущений в теории упругопластического тела. М.: Наука, 1978.
7. Ключников В. Д. Метод упругих решений в теории течения.— ПМТФ, 1965, № 1.
8. Ключников В. Д. Математическая теория пластичности. М.: Изд-во МГУ, 1979.
9. Мухелишвили Н. И. Некоторые основные задачи математической теории упругости. Изд. 5-е. М.: Наука, 1966.
10. Macdonald H. M. On the torsional strength of a hollow shaft.— Proc. Cambridge Philos. Soc., 1893, vol. 8.

УДК 534.222

РАСПРОСТРАНЕНИЕ ЦУГА УДАРНЫХ ИМПУЛЬСОВ В ПЛОТНЫХ СРЕДАХ

Э. И. Андрианкин, А. И. Малкин, Н. Н. Мягков

(Москва)

Исследование нестационарных ударных волн в плотных средах представляет интерес для многих задач физики удара, которые возникают, например, при анализе ударов метеоритов, взаимодействии мощного лазерного излучения с веществом, ударно-волновых способах получения новых материалов, при взрывах в плотных средах и т. д. [1—5]. В ряде таких задач приходится исследовать распространение ударных волн с амплитудами давления, значительно превосходящими модули сдвига вещества, но меньшими модуля всестороннего сжатия. Поэтому для описания состояния среды в этом случае справедливо гидродинамическое приближение [1], а для анализа распространения цуга ударных импульсов с учетом диссипации можно использовать уравнение Бюргерса [6]. В данной работе рассмотрены плоские задачи. В этом случае уравнение Бюргерса (УБ) для физически интересных граничных условий решается точно и задача сводится к извлечению информации из полученного решения.

Если приложенный на границе импульс давления можно аппроксимировать простой функцией времени, например δ -функцией или ступенчатой функцией, анализ решения УБ не сложен [6]. Интерес представляет рассмотрение задач с более сложными граничными условиями. В частности, для практических приложений нужно исследование эволюции цуга импульсов сжатия, возникающего при последовательных ударах по поверхности образца. Постановка такой задачи вызвана тем, что в экспериментах по ударно-волновому сжатию конденсированных веществ часто возникает потребность варьировать форму приложенного на границе импульса давления. Импульсы давления, которые получаются при использовании ударников, коротких лазерных импульсов, электронных ударов и детонации слоев конденсированных ВВ, имеют качественно подобную форму — резкий фронт и пологую область спада. Поэтому практически изменение формы волны сжатия удобно осуществлять с помощью цугов импульсов давления, генерируемых, например, импульсным лазером. Выбор времени запаздывания между лазерными импульсами может дать возможность сформировать в среде волну с заданными параметрами. Кроме того, использование цуга лазерных